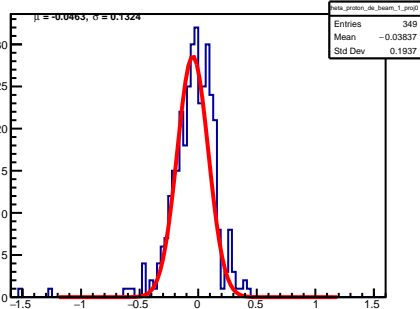
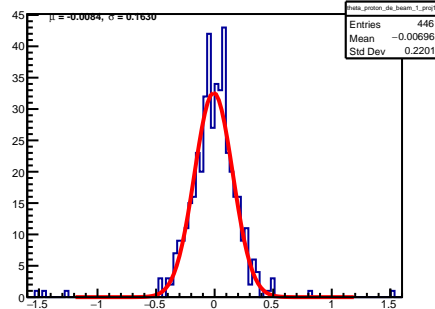


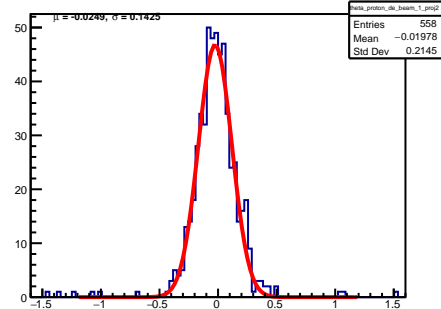
theta_proton_de_beam_1



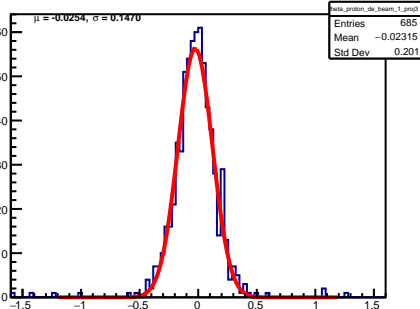
theta_proton_de_beam_1



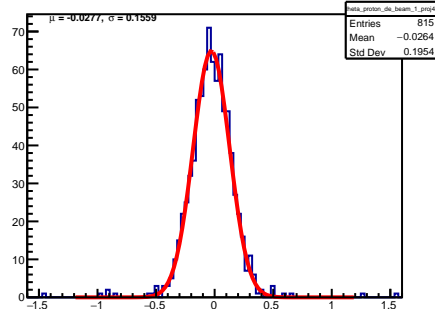
theta_proton_de_beam_1



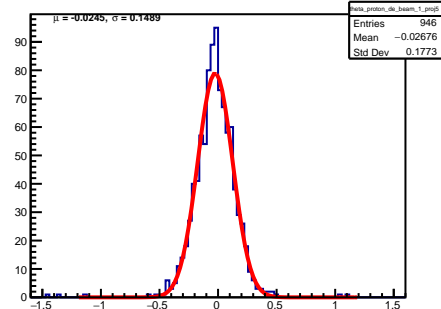
theta_proton_de_beam_1



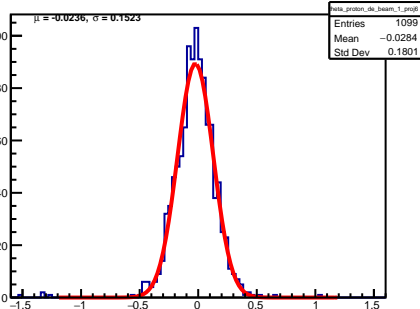
theta_proton_de_beam_1



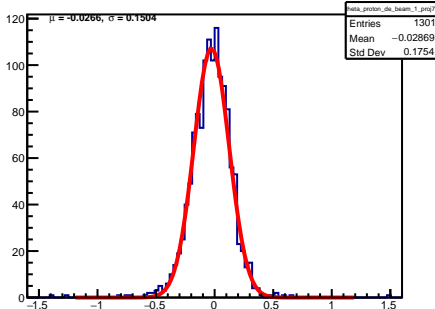
theta_proton_de_beam_1



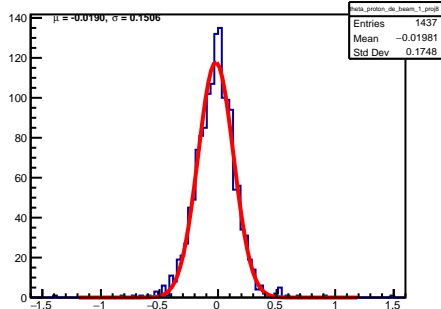
theta_proton_de_beam_1



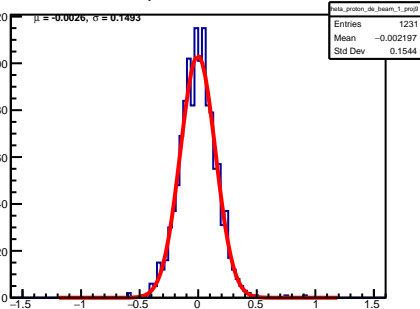
theta_proton_de_beam_1



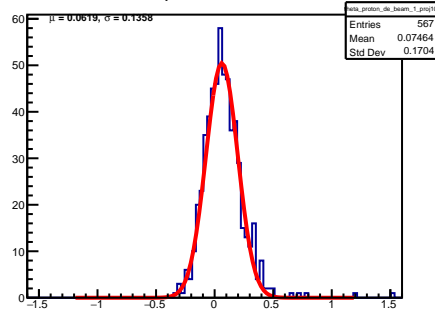
theta_proton_de_beam_1



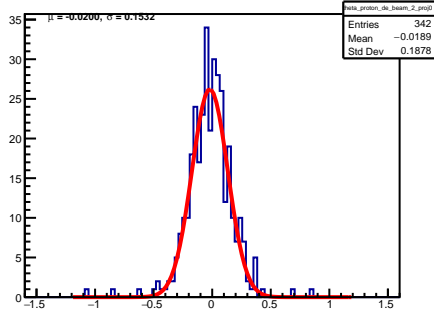
theta_proton_de_beam_1



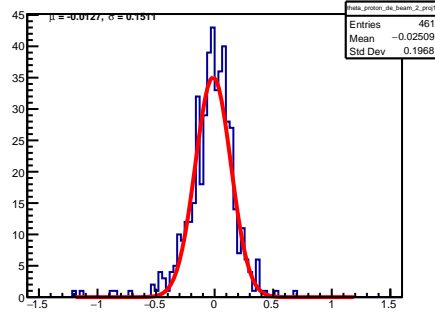
theta_proton_de_beam_1



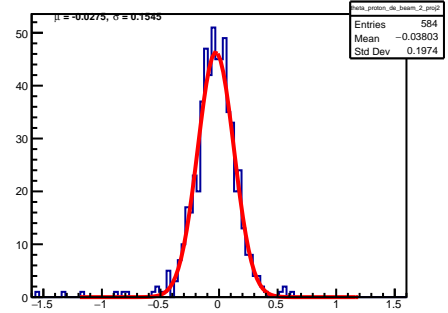
theta_proton_de_beam_2



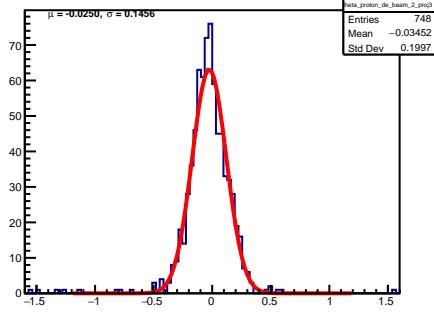
theta_proton_de_beam_2



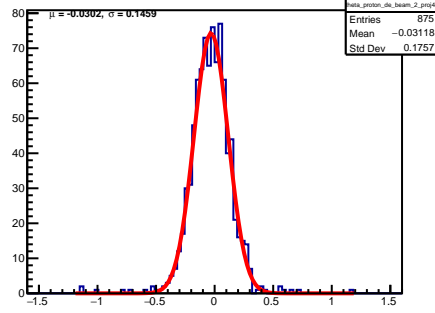
theta_proton_de_beam_2



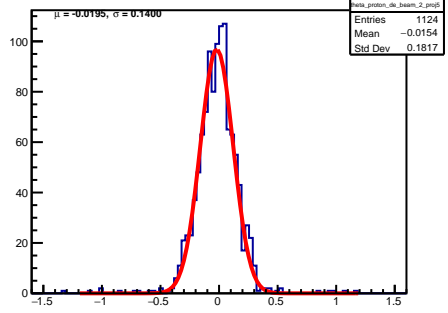
theta_proton_de_beam_2



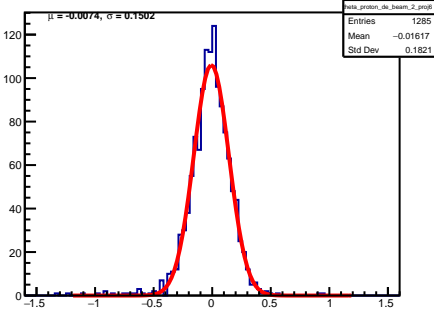
theta_proton_de_beam_2



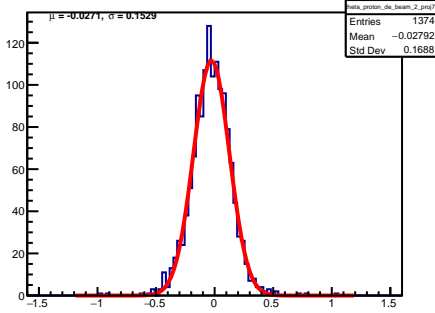
theta_proton_de_beam_2



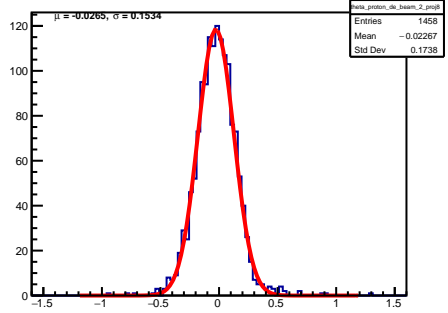
theta_proton_de_beam_2



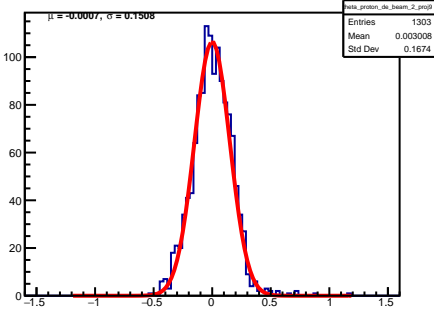
theta_proton_de_beam_2



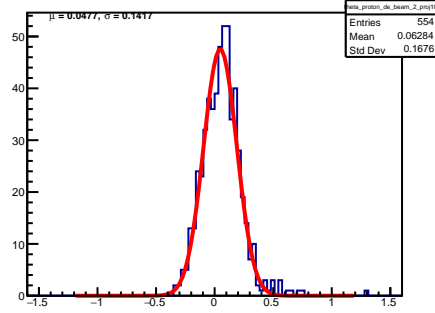
theta_proton_de_beam_2



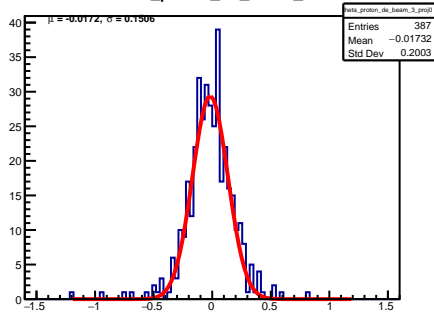
theta_proton_de_beam_2



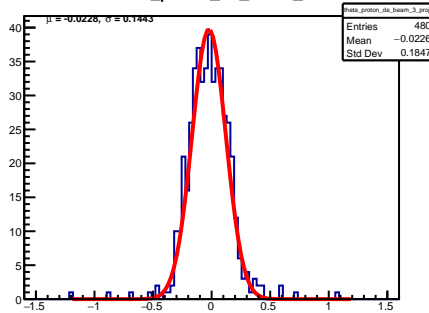
theta_proton_de_beam_2



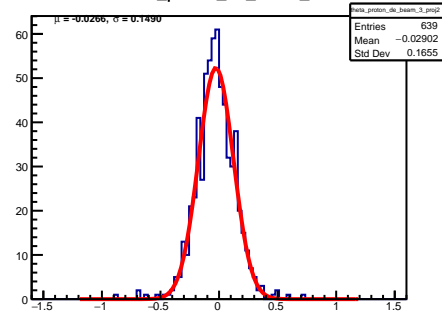
theta_proton_de_beam_3



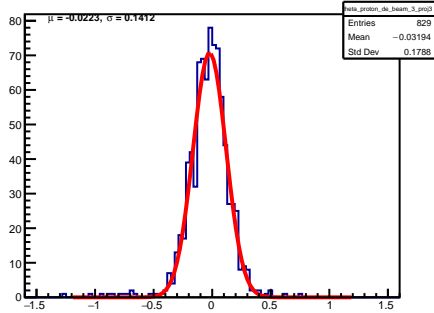
theta_proton_de_beam_3



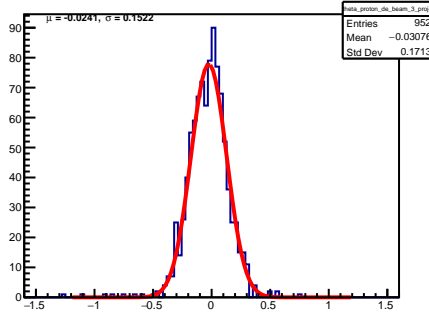
theta_proton_de_beam_3



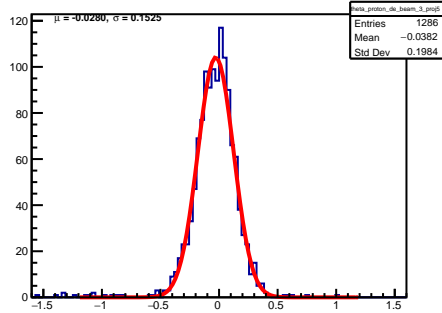
theta_proton_de_beam_3



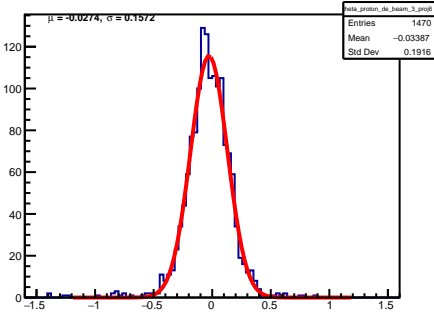
theta_proton_de_beam_3



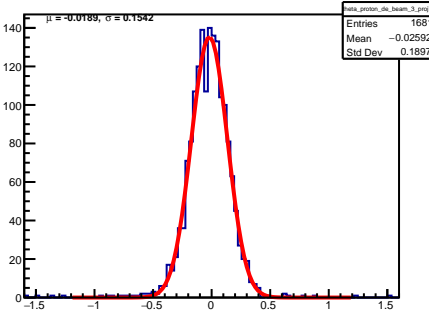
theta_proton_de_beam_3



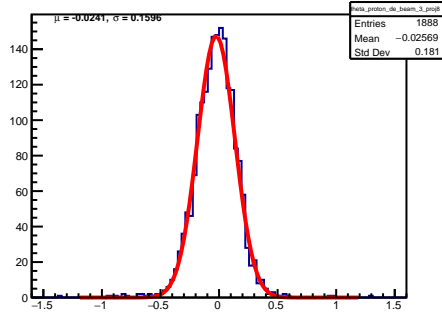
theta_proton_de_beam_3



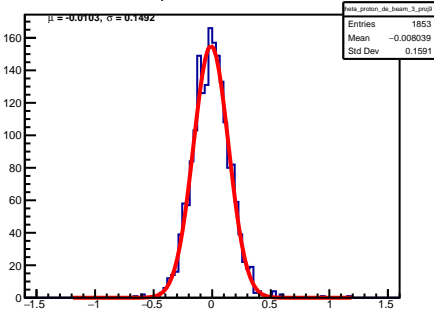
theta_proton_de_beam_3



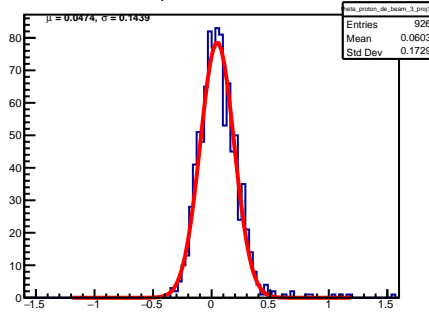
theta_proton_de_beam_3



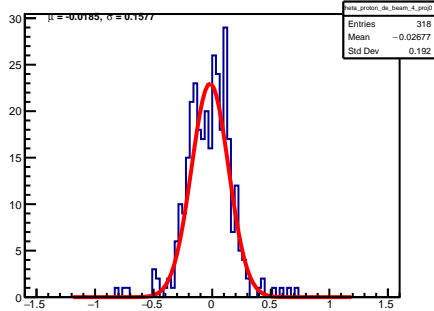
theta_proton_de_beam_3



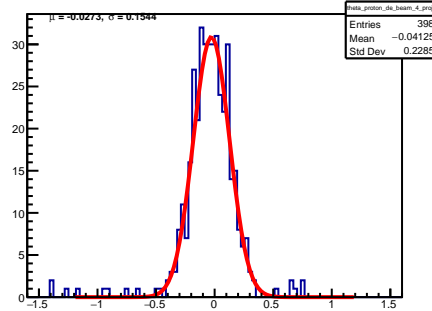
theta_proton_de_beam_3



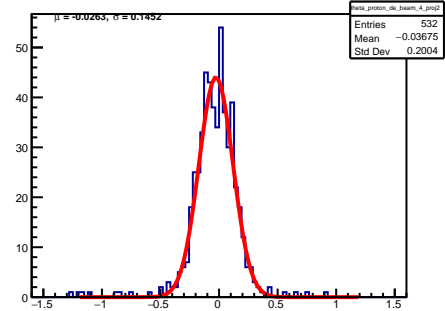
theta_proton_de_beam_4



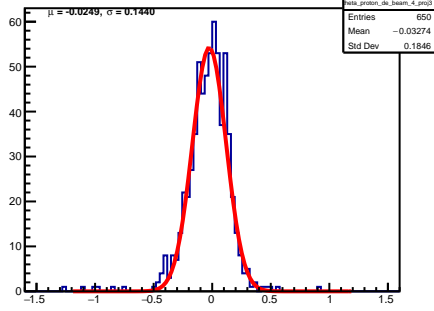
theta_proton_de_beam_4



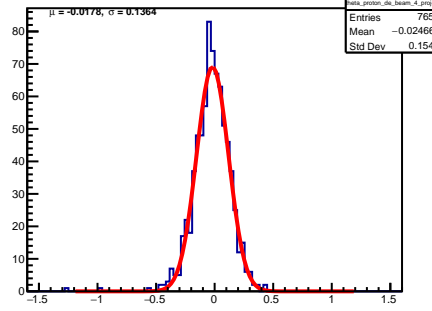
theta_proton_de_beam_4



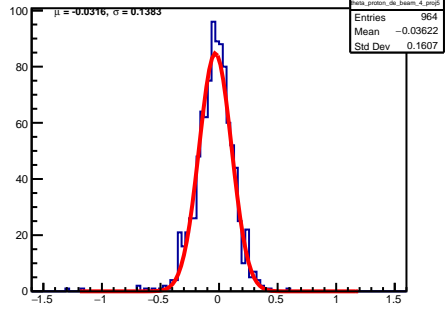
theta_proton_de_beam_4



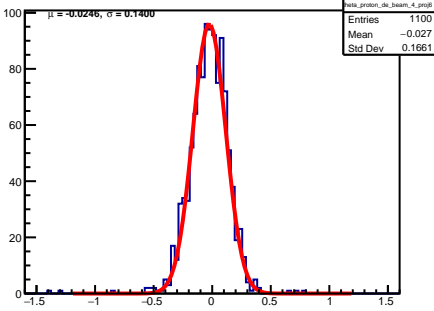
theta_proton_de_beam_4



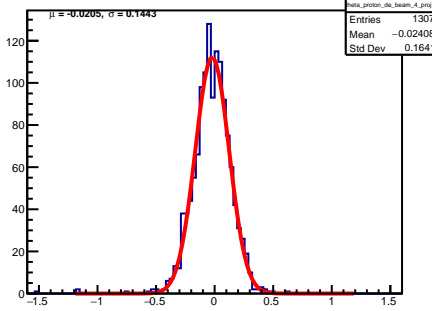
theta_proton_de_beam_4



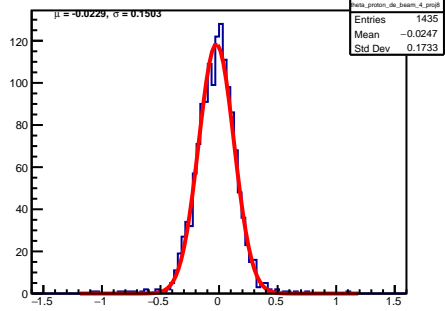
theta_proton_de_beam_4



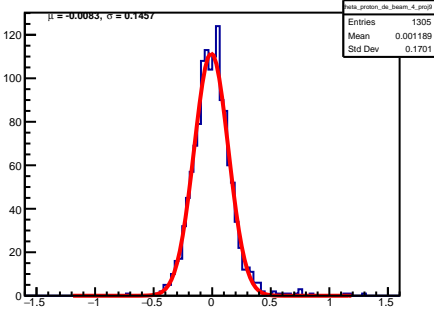
theta_proton_de_beam_4



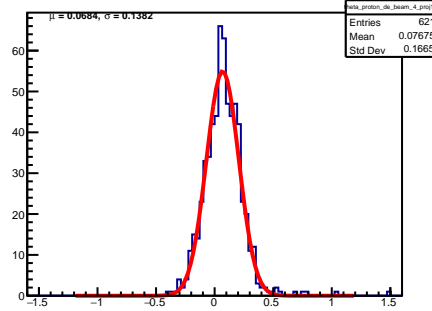
theta_proton_de_beam_4



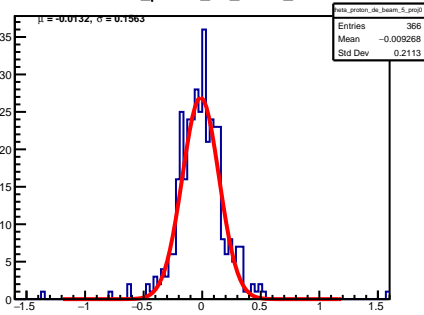
theta_proton_de_beam_4



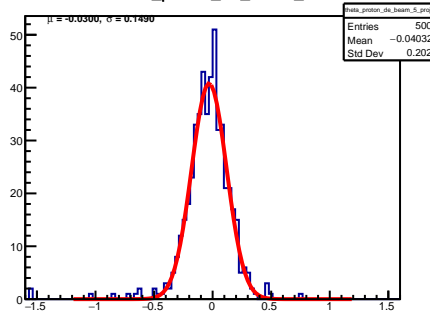
theta_proton_de_beam_4



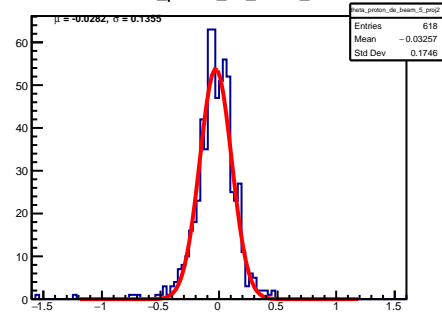
theta_proton_de_beam_5



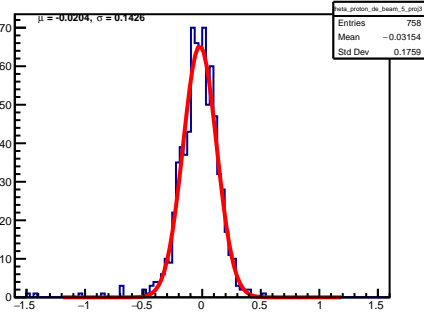
theta_proton_de_beam_5



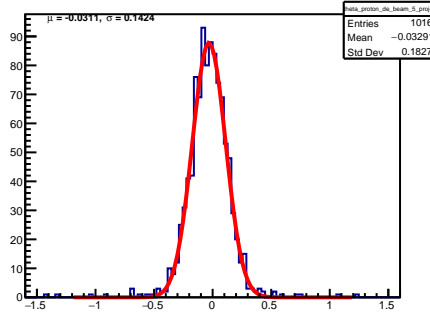
theta_proton_de_beam_5



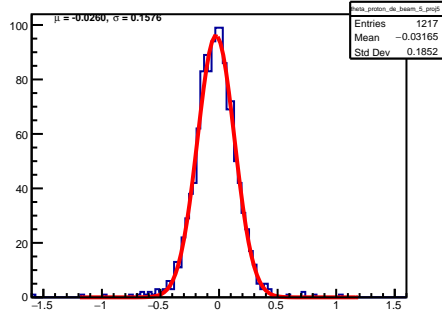
theta_proton_de_beam_5



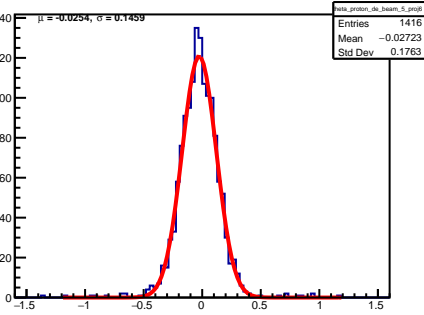
theta_proton_de_beam_5



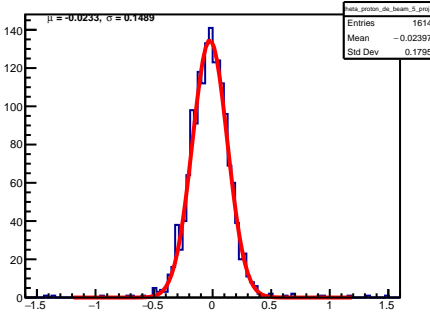
theta_proton_de_beam_5



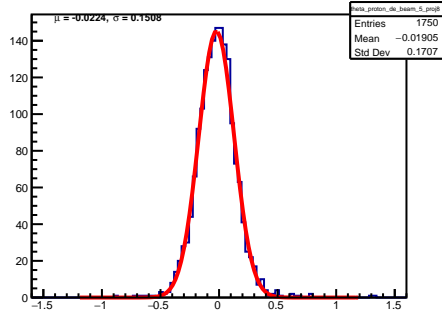
theta_proton_de_beam_5



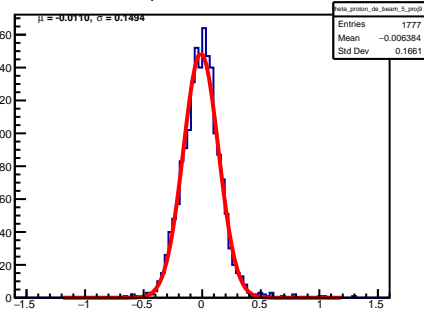
theta_proton_de_beam_5



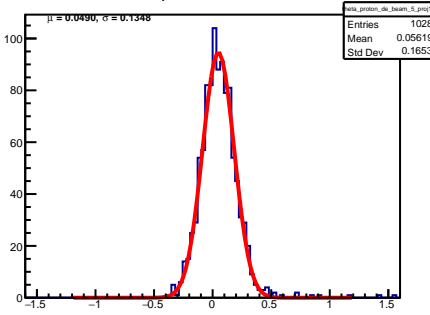
theta_proton_de_beam_5



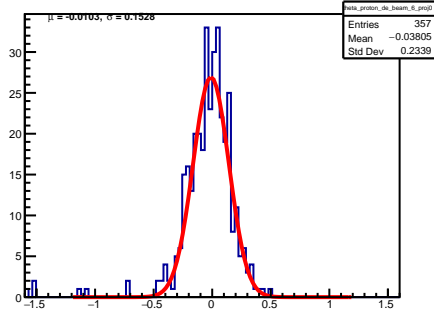
theta_proton_de_beam_5



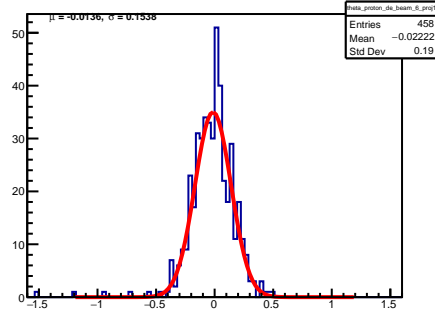
theta_proton_de_beam_5



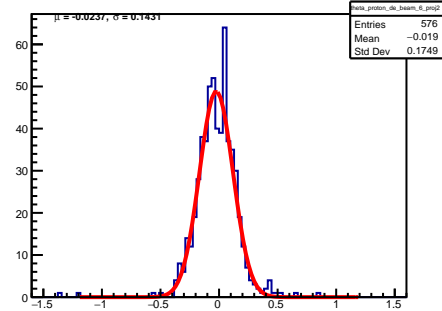
theta_proton_de_beam_6



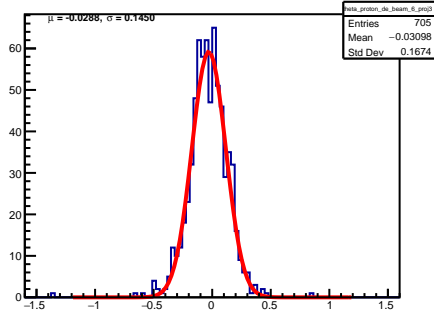
theta_proton_de_beam_6



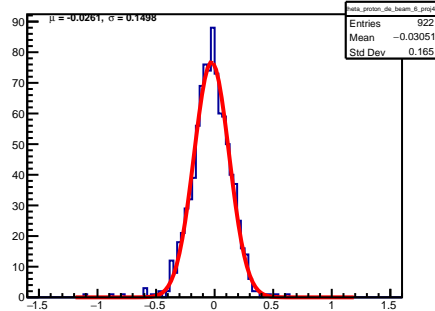
theta_proton_de_beam_6



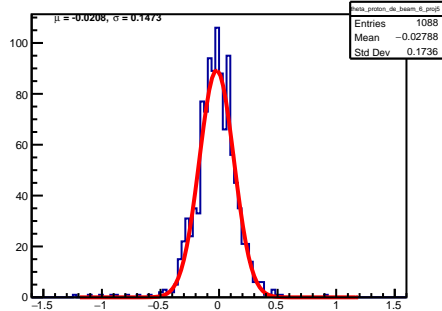
theta_proton_de_beam_6



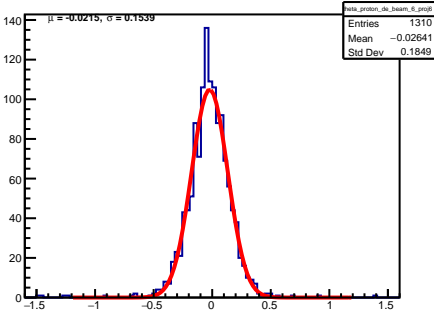
theta_proton_de_beam_6



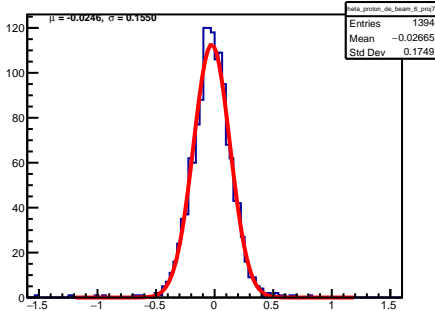
theta_proton_de_beam_6



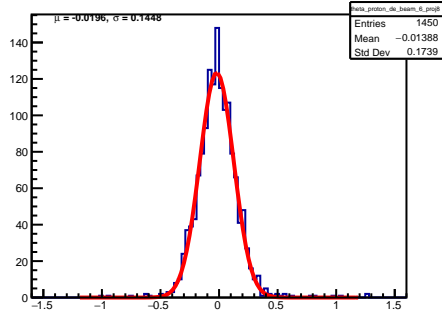
theta_proton_de_beam_6



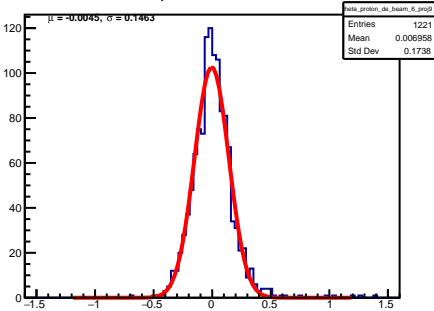
theta_proton_de_beam_6



theta_proton_de_beam_6



theta_proton_de_beam_6



theta_proton_de_beam_6

